

国建設工務(株) ○森田 順

伊保 平蔵

正会員 吉次光三

1. まえがき

亜熱帯性気候のもとで著しく風化を受け亜熱帶気候特有のラテライト化したものである。沖縄地方では圓頭レキ層と呼ばれる鉄分を含有し粒度分布は粘土からレキ質土の広範囲にあり、その性質としては多岐にわかつている。まず第一に問題となるのは、降雨時に降雨の影響で軟弱化します、状態によるとともににくくすれやすくなり、地すべり等を起こす。次にこの土を材料として取り扱う場合の施工性である。このように自然界で遭遇する土は中間性土として取り扱わなければならなく、一般的な判断のためには粒度の相違によるせん断特性を知る必要がある。とりあえて今回、地山状態にある乱さない状態から乱さない状態における過程を土質力学的に明らかにするため、土質力学拳動からせん断試験を通して知り得た特性を述べる。

2. 試料および試験

試料は沖縄本島北部名護市内から採取した試料である。試料の物理特性を表-1に示す。今回行なった試験は、乱さない状態と乱さない状態の圧密非排水三軸圧縮試験(等方圧密)である。乱さない試料は、初期含水比の状態を保つ。乱さない状

表-1 物理特性

比重	含水比	塑性限界	液性限界	塑性限界	塑性指数	レキ介	砂介	シルト介	粘土介
2.771	33.0 36.60	174 1.95	49.5	27.0	22.5	80	38	26	28
試料を飽和状態に近づ									

けるためのback Pressure を $U_b = 2.0 \text{ kg/cm}^2$ と定めた。試験用供試体は、直径50cm、高さ12.5cmとし、ひずみ速さは0.125%/minで間げき水圧測定は供試体下端にて測定した。

3 試験結果と考察

乱さない試料の有効応力経路を図-1に、乱さない試料の有効応力経路を図-2に示す。図-1において、平均主応力の小小さ領域($P \leq 1.50 \text{ kg/cm}^2$)ではあまり間げき水圧は発生しないで、過圧密のよう応力経路を見ていく。間げき水圧の生じかたには差異があり、構造上の破壊は見られず、不安定構造をしていくようである。図-2の乱さない試料の有効応力経路は圧密圧力($P = 3.0 \text{ kg/cm}^2$ を除く)に關係なく相似形を示し、一般、正規圧密粘土と同様の傾向を示すようである。この経路の特徴としては、 P の変化が小さく、ひずみがかなりのものが生じ、この試験条件のもとにおいてはダイレクションが生じにくくなるようである。主応力比最大の後に主応力差最大が生じており、レキ質土でありながらもシルト質において一般的の傾向として見られる現象である。

図-3には、圧密圧力 P_c と非排水せん断強度 C_u の関係を示す。乱さない試料は、 $P_c = 2.5 \text{ kg/cm}^2$ 以上になると非排水せん断強度 C_u は圧密圧力 P_c により直線関係を示す。図-4に乱さない試料の応力へひずみ曲線を示す。0.3~4%のひずみでは($P_c = 3.0 \text{ kg/cm}^2$ を除く)直線的応力は増加するが、それを越えると応力は急に増加する割合が低下し明瞭なピークが表われない。また間げき水圧も多少のおくれをとるが、応力と同じよ

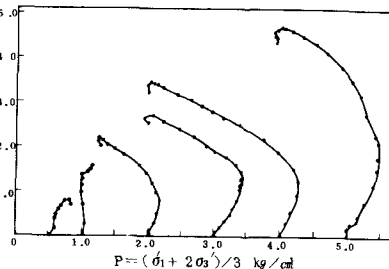


図-1 乱さない試料の応力経路

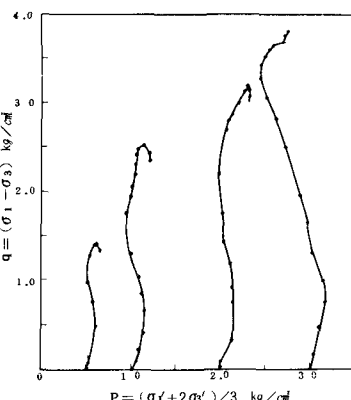


図-2 乱さない試料の応力経路

りの傾向を示してゐる。図-5は、有効応力で示した強度定数 ϕ' を示したものである。乱した試料と乱さない試料の差異は、せんれき過程での圧力条件の影響がなく Henkel 等が示したものと一致する。乱した試料の $\phi' = 34.1^\circ$ 、乱さない試料の $\phi' = 33.6^\circ$ であり、乱した試料より ϕ' の値はわずかに小さく、せんれきの差異はない。図-6は、過圧密比 OCR と非排水強度 Cu、間げき圧係数 Af の関係を示した。間げき圧係数 Af と過圧密比の関数は

、過圧密比 4 倍

度から負になる

傾向にあり、その後

此以降はあまり

変化がなく、ほぼ

一定となる。

また、普通の粘

土で言われて

るようく非排水せん断強度 Cu の減少割合は過圧密比の半の関

数と考えられる。

4. まとめ

本報告は、沖縄北部地方に分布するラテライト質土の試料を三軸圧縮試験を通してせん断特性を調べたものであるが、レキモ混入したがらも以上のようないきがりも以下のような事が結論づけられた。

1) 乱したものについては、一般にせんれき過程と同様の傾向にあり、P の変化の大小、くりにかわりのないきがりも、タイレタンシーが生じにくく。

2) 間げき水圧の生じた場合には差異が生じるが、構造上の破壊はせんれきせず、又は不安定な滑移構造を有しているようである。

3) 過圧密比と非排水せん断強度 Cu の関係から、Cu の減少の割合は過圧密比の半の関数で表わされる。

以上、まだ多く不明な点が残されているので、今後多くの試料を用いて明確にしていくつもりである。

最後に、本報告の校正中に、筆者の一人（故 伊保平蔵氏）が 12 月 5 日 心不全のため若き生涯を閉じられました。ご冥福をお祈り申し上げます。多くのご指導に深甚の謝意を捧げご冥福をお祈りする次第であります。

参考文献 1) Schultze et al : The Shear Strength of Silt Proc. 6th ICSMFE (1963)

2) Henkel, D.J. and. Sowa V; The influence of stress history on stress paths.... ASTH(1963)

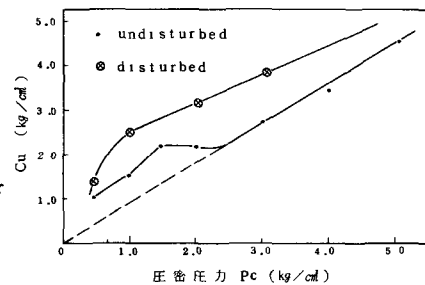


図-3 圧密圧力 P_c と C_u の関係

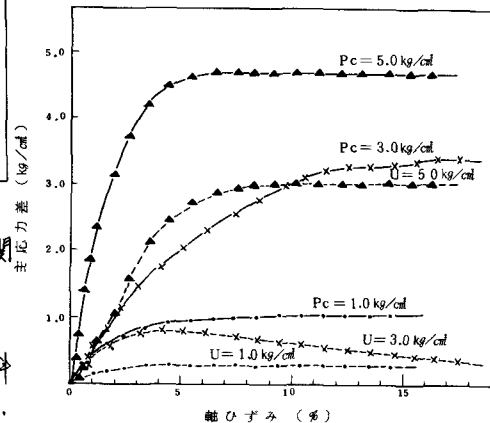


図-4 乱さない試料の応力～ひずみ曲線

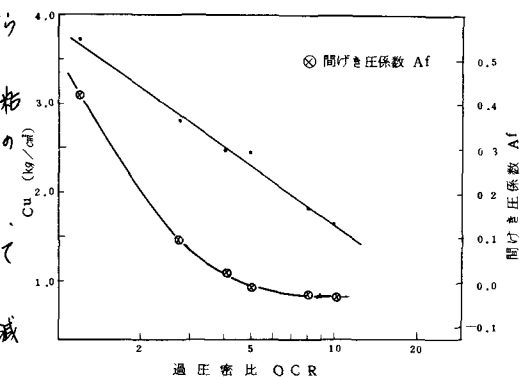


図-6 過圧密比 OCR と非排水強度 C_u 、間げき圧係数 A_f